

مشخصه‌یابی نسل دوم مولد پارس گالوژن (مولد $^{68}\text{Ge}/^{68}\text{Ga}$) و کنترل کیفی محلول شویش آن

مهدى غلام حسیني نظری^{*}، علی رحيمى نژاد^{ID}، مقداد گيلاني^{ID}، ميعاد هاشمى زاده^{ID}، حجت معصومى^{ID}، رحيم سردارى^{ID}، حسين نادرى^{ID}
شرکت پارس ايزوتوب، صندوق پستى: ۱۷۳۷۶-۶۳۱۸۱، تهران- ایران

*Email: mgh.nazari2@gmail.com

مقاله فنی

تاریخ دریافت مقاله: ۱۴۰۲/۰۱/۱۳ تاریخ بازنگری مقاله: ۱۴۰۳/۰۲/۰۹ تاریخ پذیرش مقاله: ۱۴۰۳/۰۲/۱۸

چکیده

گالیم-۶۸ یکی از رادیونوکلئیدهایی است که به طور گسترده برای اهداف تشخیصی در پزشکی هسته‌ای استفاده می‌شود. با توجه به در دسترس بودن مولدهای $^{68}\text{Ge}/^{68}\text{Ga}$ ، علاوه صنعت رادیوداروها در حال حاضر بر توسعه این ژنراتور متمرکر شده است. لذا توسعه و استفاده مولد $^{68}\text{Ge}/^{68}\text{Ga}$ هنوز یک موضوع داغ در پزشکی هسته‌ای است. طی سال‌های گذشته در ایران، شرکت پارس ايزوتوب اقدام به تولید مولدهای مولد $^{68}\text{Ge}/^{68}\text{Ga}$ (مولد پارس گالوژن) نموده است. این مولد با ۵ میلی‌لیتر هیدروکلریک اسید ۰.۶ مولار دوشیده می‌شود. در ادامه پارس ايزوتوب، نسل دوم مولدهای پارس گالوژن را تولید کرده است. این مولد بر پایه ماتریکس رزین $\text{SnO}_2\text{-TiO}_2$ بوده و با ۳ میلی‌لیتر هیدروکلریک اسید ۰.۱ مولار دوشیده می‌گردد. در این پژوهش، مشخصه‌های اصلی نسل دوم مولدهای پارس گالوژن تعیین شده و کنترل کیفی آن ارزیابی شد. نتایج به دست آمده نشان می‌گردند که این مولد تمام محدوده‌های فارماکوپه اروپا برای استفاده را دارا بوده و مشخصات عملکردی از قبیل خلوص شیمیایی، رادیوشیمیایی، رادیونوکلئیدی بیشتر و راندمان دوشیش بالاتری در مقایسه با نسل اول را دارد.

کلیدواژه‌ها: مولد پارس گالوژن، مولد $^{68}\text{Ge}/^{68}\text{Ga}$ ، کنترل کیفی، مشخصه‌یابی

Characterization of the second generation of Pars-GalluGen generator ($^{68}\text{Ge}/^{68}\text{Ga}$ generator) and quality control of its eluate

M. Gholamhosseini-Nazari*, A. Rahiminezhad, M. Gilani, M. Hahsemizadeh, H. Masoumi, R. Sardari, H. Naderi
Pars Isotope Company, P.O.Box: 17376-63181, Tehran – Iran

Technical Paper

Received: 3.1.2024, Revised: 28.4.2024, Accepted: 7.5.2024

Abstract

Gallium-68 (^{68}Ga) is a radionuclide widely used for diagnostic purposes in Nuclear Medicine. With the availability of $^{68}\text{Ge}/^{68}\text{Ga}$ generators, the radiopharmaceutical industry is currently focused on developing this generator. The development and application of $^{68}\text{Ge}/^{68}\text{Ga}$ generators remain a hot topic in nuclear medicine. In recent years, Pars Isotope Company in Iran has produced $^{68}\text{Ge}/^{68}\text{Ga}$ generators (Pars-GalluGen generator) that are eluted with 5 ml of 0.6 M hydrochloric acid. Additionally, Pars Isotope has developed the second generation of Pars-GalluGen generators. This new generator is based on a $\text{SnO}_2\text{-TiO}_2$ resin matrix and is eluted with 3 ml 0.1 M hydrochloric acid. This research aimed to determine the main characteristics of the second generation of Pars-GalluGen generators and evaluate their quality control. The results obtained indicate that this generator meets all specifications of the European Pharmacopoeia for use and has better performance characteristics, including higher chemical, radiochemical, and radionuclide purity, as well as a higher elution yield compared to the first generation.

Keywords: Pars-GalluGen generator, $^{68}\text{Ge}/^{68}\text{Ga}$ generator, Quality control, Characterization



طی دو دهه اخیر مولدهای مختلف تجاری بر پایه رزین‌های مختلف از قبیل SnO_2 , TiO_2 و یا رزین آلی طراحی و ساخته شده‌اند [۲۶].

در حال حاضر ژنراتورهای مختلف تجاری شامل Obninsk (برپایه رزین TiO_2), iThemba (SnO_2), Eckert & Ziegler IRE EliT (TiO_2), IRE EliT (برپایه رزین TiO_2) و ITM (برپایه رزین سلیکا) در جهان تولید می‌شوند [۲۷].

طی سال‌های گذشته در ایران شرکت پارس ایزوتوب اقدام به تولید مولد $^{68}\text{Ge}/^{68}\text{Ga}$ بر پایه رزین SnO_2 با نام تجاری پارس گالوژن نموده است. این مولد با ۵ میلی‌لیتر هیدروکلریک اسید ۰,۶ مولار دوشیده می‌شد. این ژنراتور در برخی منابع علمی مورد بررسی قرار گرفته و مشخصات آن به تفصیل شرح داده شده است [۲۸]. همچنین این ژنراتور در تولید رادیوداروهای مختلف مورد استفاده قرار گرفته است [۲۹-۳۴].

طی چند سال اخیر شرکت پارس ایزوتوب اقدام به تولید نسل دوم مولدهای $^{68}\text{Ge}/^{68}\text{Ga}$ نموده که این مولد بر پایه $\text{SnO}_2\text{-TiO}_2$ بوده و با ۳ میلی‌لیتر هیدروکلریک اسید ۰,۱ مولار دوشیده می‌گردد.

متأسفانه طی سال‌های گذشته در مقالات مختلف اطلاعات نادرستی در مورد ژنراتور پارس گالوژن منتشر شده است [۳۵-۳۷]. لذا تلاش شد تا مشخصات عملکردی ژنراتور پارس گالوژن مذکور عنوان گردد. در این کار پژوهشی عوامل تأثیرگذار بر عملکرد و کیفیت این ژنراتور مورد بررسی قرار گرفته و با نسل قبلی این ژنراتور مقایسه می‌گردد همچنین با بررسی مشخصه‌های اصلی این مولد، کنترل کیفی آن شرح داده می‌شود.

۲. تئوری و روش انجام ۱.۲ مواد و تجهیزات

در این کار تحقیقاتی، مشخصه‌های اصلی مولد پارس گالوژن (مولدهای $^{68}\text{Ge}/^{68}\text{Ga}$) تولید شده در کشور و در شرکت پارس ایزوتوب تعیین شده و کنترل کیفی آن انجام شد. مواد شیمیایی از شرکت سیگما آلدريج (هایدلبرگ، آلمان) خریداری شد. رادیوکروماتوگرافی لایه نازک با استفاده از اسکنر کروماتوگرافی لایه نازک Bioscan AR۲۰۰۰ (پاریس، فرانسه) انجام شد. ناخالصی‌های شیمیایی محلول دوشیده شده از مولد با دستگاه پلاسمای جفت شده القایی (ICP-OES) مدل Turbo-AX-۱۵۰-LibertyVarian) اندازه‌گیری شد. جهت

۱. مقدمه

گالیم-۶۸ (^{68}Ga) یکی از رادیونوکلئیدهایی است که به طور گسترده برای اهداف تشخیصی در پزشکی هسته‌ای استفاده می‌شود [۱-۳]. زرمانیم-۶۸ که نیمه‌عمر نسبتاً بالای ۲۷۰/۹۵ روز دارد با گیراندازی الکترون^۱ به گالیم-۶۸ واپاشی می‌کند. گالیم-۶۸ به نوبه خود با نیمه‌عمر ۶۷/۷۱ دقیقه با گسیل پوزیترون^۲ با انرژی بیشینه ۱/۹۲ MeV (//۰/۸۹) و پرتوهای گاما با انرژی بیشینه ۱۰/۷۷ keV (//۰/۳۲۲) و به رادیوایزوتوب روی-۶۸ (^{68}Zn) واپاشی می‌کند [۴].

خواص فیزیکی جالب و در دسترس بودن گالیم-۶۸ توسط یک مولد، آن را به هسته‌ای جالب برای توسعه رדיابهای جدید در مقطع‌نگاری نشری پوزیترون^۳ (PET) تبدیل می‌کند که فرصت‌های جدیدی را برای محققان برای طراحی انواع رادیوداروهای گالیم-۶۸ به دلیل در دسترس بودن و تجاری‌سازی مولدهای $^{68}\text{Ge}/^{68}\text{Ga}$ ارائه می‌کند [۵].

در رادیوداروهای PET با گالیم-۶۸، گالیم-۶۸ به یک پیتید یا مولکول‌های دیگر برای هدف قرار دادن گیرنده‌های سطح سلولی تومورها متصل شده است [۶].

در حال حاضر بیشترین کاربرد گالیم-۶۸ در تشخیص سرطان پروستات به شکل $[^{68}\text{Ga}]$ -PSMA-۱۱ [۷-۱۲]. $[^{68}\text{Ga}]$ -PSMA-۶۱۷ همراه با $[^{177}\text{Lu}]$ -PSMA-۱۱ یک زوج ترانوستیک را تشکیل می‌دهند، که برای تشخیص یا درمان سرطان پروستات بسیار مناسب است رדיابهای نشان‌دار شده با $[^{68}\text{Ga}]$ / $[^{177}\text{Lu}$] رفتار بیولوژیکی بسیار مشابهی را نشان می‌دهند [۱۲-۱۶].

دیگر جفت ترانوستیک گالیم-۶۸ برای تومورهای عصبی غدد درون‌ریز در ترکیب با آنالوگ‌های مختلف سوماتوستاتین استفاده می‌شود. سه آنالوگ پرکاربرد سوماتوستاتین با گالیم-۶۸ $[^{68}\text{Ga}]$ -DOTA-NOC، $[^{68}\text{Ga}]$ -DOTA-TOC و $[^{68}\text{Ga}]$ -DOTATATE که به عنوان یک همتای درمانی^۴ از ایتریم-۹۰ و لوتشیم-۱۷۷ استفاده می‌شود [۱۷-۲۴].

گالیم-۶۸ توسط سیکلوترون و یا مولد $^{68}\text{Ge}/^{68}\text{Ga}$ امکان تولید دارد. مولدهای $^{68}\text{Ge}/^{68}\text{Ga}$ به دلیل بالا بودن نیمه‌عمر رادیونوکلئید مادر یعنی زرمانیم-۶۸، یک گزینه بسیار مناسب برای تصویربرداری مقطع‌نگاری نشری پوزیترون در مراکز پزشکی هسته‌ای، بهویشه در مراکز فاقد دسترسی به سیکلوترون است [۲۵، ۲۶].

1. Electron Capture (EC)
2. Positron Emission
3. Positron Emission Tomography
4. Therapeutic Counterpart



هیدروکلریک اسید تهیه شده و ژنراتور با حجم ۳ میلی‌لیتر از هر کدام از محلول‌ها دوشیده شده و پرتوزایی گالیم-۶۸ دوشیده شده با دز کالیبراتور اندازه‌گیری و تعیین شد. لازم به ذکر است که این غلظت‌ها بدین جهت انتخاب شد که در حال حاضر ژنراتورهای تجاری در محدوده ۰/۰۵-۰/۶ مولار از هیدروکلریک اسید دوشیده می‌شوند [۲۵].

۲.۳.۲ تعیین منحنی دوشش مولد $^{68}\text{Ge}/^{68}\text{Ga}$

برای بهدست آوردن مقدار حجم بهینه از هیدروکلریک اسید ۰/۱ مولار جهت شستشوی مولد و استحصال گالیم-۶۸، مولد با حجم‌های مساوی ۰/۵ میلی‌لیتری از شوینده، شسته شده و محلول‌های حاصل در ظروف جداگانه جمع‌آوری شد. نهایتاً پرتوزایی هر نمونه اندازه‌گیری شد.

۲.۳.۲ تعیین بازده دوشش مولد $^{68}\text{Ge}/^{68}\text{Ga}$

بازده شستشوی مولد یا همان بازده مولد نسبت پرتوزایی اندازه‌گیری شده گالیم-۶۸ استحصال شده از ژنراتور به پرتوزایی ژرمانیم-۶۸ بارگذاری شده روی ستون مولد در ابتدا و ژرمانیم-۶۸ محاسبه شده، بهدست آمده است. برای بهدست آوردن بازده شستشوی مولد در طول یک دوره ۹ ماهه مولد به شکل منظم دوشیده شده و اکتیویته محلول حاصل از دوشش مولد اندازه‌گیری شد. مقدار ژرمانیم-۶۸ نیز با توجه به مقدار ژرمانیم-۶۸ اولیه بارگذاری شده بر روی ستون ژنراتور از رابطه واپاشی $A = A_0 e^{-\lambda t}$ محاسبه می‌گردد.

۴.۲ کنترل کیفی محلول دوشیده شده مولد $^{68}\text{Ge}/^{68}\text{Ga}$

از مواردی که باید در مولدهای $^{68}\text{Ge}/^{68}\text{Ga}$ مورد توجه قرار گیرد حضور رادیونوکلئید ژرمانیم-۶۸ در کنار گالیم-۶۸ موجود در محلول شویش است. به علاوه وجود عناصر فلزی از این بابت مهم است که می‌توانند در نشان‌دارسازی محلول دوشش مشکل ایجاد کنند [۳۸، ۳۹]. البته محدوده‌های مجاز برای مولدهای $^{68}\text{Ge}/^{68}\text{Ga}$ در فارماکوپه اروپا نیز ذکر شده است [۴۰].

۱۰.۴.۲ بررسی خلوص شیمیایی مولد $^{68}\text{Ge}/^{68}\text{Ga}$

جهت مشخص کردن مقادیر ناخالصی‌های شیمیایی موجود در محلول شویش حاصل از مولد، محلول شویش به مدت ۴۸ ساعت به حال خود رها شده تا محلول سرد و غیراکتیو شود. آلودگی‌های ناچیز از یون‌های فلزی احتمالی شامل آهن، روی، مس و ... در محلول واپاشیده شده با دستگاه پلاسمای جفت شده القایی (ICP-OES) تعیین شد.

اندازه‌گیری پرتوزایی نمونه، از دستگاه آشکارساز ژرمانیم فوق خالص (HPGe) مدل (NGC ۴۰۲۰) همراه با دز کالیبراتور Veenstra VDC استفاده شد. پیک گامای واقع در انرژی‌های 1077keV , 511keV و 1883keV و 1077keV و 1883keV مبنای تشخیص و پیک گامای واقع در انرژی‌های 1077keV و 1110keV مبنياً محاسبات قرار گرفت. همچنین یک مولد پارس گالوژن ۳۰ میلی‌کوری (۱۱۱۰ مگاکرل) جهت بررسی در این مطالعه مورد استفاده قرار گرفت.

۲.۲ مولد $^{68}\text{Ge}/^{68}\text{Ga}$

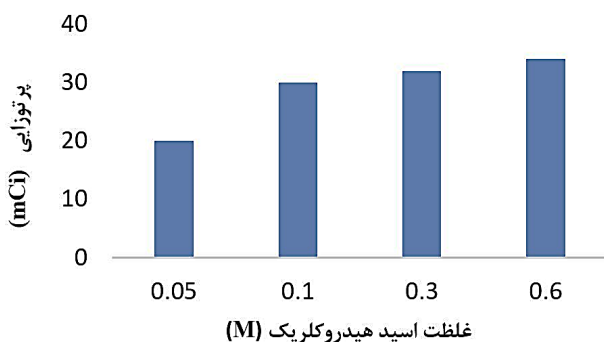
عملکرد مولدهای $^{68}\text{Ge}/^{68}\text{Ga}$ بر این اساس است که رادیونوکلئید مادر ژرمانیم-۶۸ بر روی یک بستر که رزین آلی یا معدنی می‌باشد جذب شده و رادیونوکلئید دختر گالیم-۶۸ توسط هیدروکلریک اسید با غلظت‌های مختلف از بستر رزین ^{68}Ga شسته و آزادسازی می‌شود. گالیم-۶۸ آزاد شده به شکل ^{68}Ga برای نشان‌دارسازی و تصویربرداری مورد استفاده قرار می‌گیرد. هرچند نحوه عمل تمامی ژنراتورها براساس جذب ژرمانیم-۶۸ بر روی رزین و آزادسازی گالیم-۶۸ با شستشو با اسید است ولی عوامل مختلفی از قبیل راندمان ژنراتور، غلظت اسید مورد استفاده در دوشش، حجم اسید مورد استفاده در دوشش، مقدار ناخالصی‌های فلزی موجود در محلول شویش، حضور رادیونوکلئید مادر در محلول شویش و ... در ژنراتورهای مختلف متفاوت است و همین موضوع سبب تفاوت کیفیت و عملکرد ژنراتورهای مختلف می‌گردد.

۳.۲ مشخصه‌یابی مولد $^{68}\text{Ge}/^{68}\text{Ga}$

در واقع راندمان ژنراتور، منحنی دوشش، غلظت و حجم اسید مورد استفاده در دوشش مهم‌ترین عوامل تعیین‌کننده عملکرد ژنراتور می‌باشد. در مورد خلوص شیمیایی، رادیوشیمیایی و رادیونوکلئیدی حضور ناخالصی‌های فلزی و رادیونوکلئید مادر در محلول شویش مهم‌ترین عوامل تعیین‌کننده کیفیت ژنراتور می‌باشدند. ناخالصی‌های شیمیایی از این جهت که در رقابت با ^{68}Ga برای نشان‌دارسازی باعث افت کیفیت ژنراتور می‌شوند مهم می‌باشند. همچنین حضور رادیونوکلئید مادر در محلول شویش از این جهت مهم است که حضور ژرمانیم-۶۸ با نیمه‌عمر بالا در محلول شویش سبب پرتوگیری غیرضروری و بلندمدت بیمار می‌شود، مهم است.

۱۰.۲ تعیین قدرت اسیدی مناسب برای شستشوی مولد $^{68}\text{Ge}/^{68}\text{Ga}$ جهت بهدست آوردن غلت مناسب محلول شستشوی ژنراتور، محلول‌های با غلظت‌های مختلف ۰/۱، ۰/۳، ۰/۵ و ۰/۶ از





شکل ۱. تغییرات پرتوزایی گالیم-۶۸ در محلول دوشیده شده از مولد برحسب تغییرات غلظت هیدروکلریک اسید.

همان‌گونه که در شکل ۱ مشاهده می‌شود با افزایش غلظت محلول شستشو از ۰/۰۵ مولار تا ۰/۶ مولار، پرتوزایی گالیم-۶۸ محلول حاصل از شستشوی مولد افزایش می‌یابد. به بیان دیگر با افزایش غلظت هیدروکلریک اسید، اکتیویته استحصالی مولد یا به بیان دیگر بازده شستشوی مولد افزایش می‌یابد. ولی در غلظت‌های بالاتر، رادیونوکلئید مادر گالیم-۶۸ نیز در محلول شستشو به بیش از حد مجاز فارماکوپه (۰/۰۰۱) درصد از اکتیویته دوشیده شده) افزایش می‌یابد. به علت ایجاد توازن مابین بازده شستشوی مولد و رادیونوکلئید مادر گالیم-۶۸ در محلول شستشو، محلول ۰/۱ مولار هیدروکلریک اسید جهت شستشوی مولد تعیین شد.

۲.۳ تعیین منحنی دوشش مولد $^{68}\text{Ge}/^{68}\text{Ga}$
منحنی دوشش مولد از بررسی کسرهای ۰/۵ میلی‌لیتری از محلول دوشش مولد بهدست آمد. پرتوزایی کسرهای جمع شده در شکل ۲ نشان داده شده است. همان‌گونه که مشاهده می‌شود حدود ۹۰٪ از پرتوزایی مولد در ۲ میلی‌لیتر اول بهدست می‌آید. البته می‌توان ۰/۵ میلی‌لیتر اولیه دوشیده شده را که تنها حدود ۱٪ از پرتوزایی مولد را دارد کنار گذاشته و از ۲ میلی‌لیتر بعدی استفاده کرد تا بتوان حدود ۹۷٪ از پرتوزایی مولد را در ۲ میلی‌لیتر بهدست آورد. لازم به ذکر است که منحنی دوشش برای مولدهای مختلف و در بازه‌های زمانی مختلف می‌تواند کمی متفاوت باشد.

۳.۲ تعیین بازده دوشش مولد $^{68}\text{Ge}/^{68}\text{Ga}$
با اندازه‌گیری پرتوزایی گالیم-۶۸ و محاسبه واپاشی و پرتوزایی ژرمانیم-۶۸ بارگذاری شده بر روی ستون مولد، بازده دوشش (شستشوی) مولد به صورت نسبت پرتوزایی گالیم-۶۸ اندازه‌گیری به پرتوزایی محاسبه شده ژرمانیم-۶۸ در طول بازه

۴.۲ بررسی خلوص رادیوشیمیایی مولد $^{68}\text{Ge}/^{68}\text{Ga}$
خلوص رادیوشیمیایی بالا جهت انجام نشان‌دارسازی موفق و مؤثر از اهمیت بالایی برخودار است. خلوص رادیوشیمیایی محلول شویش مولد با استفاده از کروماتوگرافی لایه نازک انجام شد. برای این کار از محلول دوشیده شده از مولد بر روی کاغذ TLC لکه‌گذاری انجام شده و کاغذ در محلول آمونیم استات یک مولار و متانول (۱:۱) قرار گرفت. نهایتاً کاغذ با استفاده از خوانش کروماتوگرافی اسکن شد.

۴.۲ بررسی خلوص رادیونوکلئیدی مولد $^{68}\text{Ge}/^{68}\text{Ga}$
خلوص رادیونوکلئیدی گالیم-۶۸ استحصل شده از مولد با اندازه‌گیری نیمه‌عمر گالیم-۶۸ براساس تعیین الگوی واپاشی و طیف‌نگاری گامای نمونه واپاشیده شده گالیم-۶۸ با استفاده از آشکارساز HPGe درجه‌بندی شده و وصل شده به تحلیل‌گر چند کاناله بررسی شد. الگوی واپاشی گالیم-۶۸ با دنبال کردن نیمه‌عمر گالیم-۶۸ در حدود ۶ ساعت (حدود ۵ نیمه‌عمر) تعیین شد.

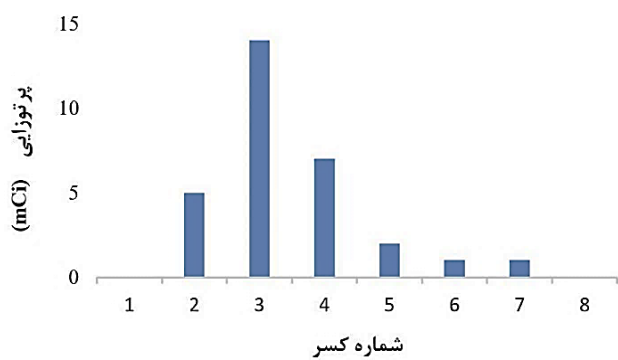
از آن جاکه ژرمانیم-۶۸ صرفاً از طریق گیراندازی الکترون به گالیم-۶۸ واپاشیده می‌شود، مقدار آلودگی آن را نمی‌توان به شکل مستقیم با طیفسنجی گاما بررسی کرد. برای اندازه‌گیری مقدار این آلودگی‌ها با رها کردن نمونه دوشیده شده مولد به مدت ۴۸ ساعت و واپاشی کامل گالیم-۶۸، اقدام به اندازه‌گیری قله انرژی پرتو گامای مربوط به ۱۰۷۷ keV مربوط به گسیل رادیونوکلئید دختر گالیم-۶۸ شد. در این اندازه‌گیری، مقدار پرتوزایی گالیم-۶۸ به علت تعادل با رادیونوکلئید مادر، برابر با پرتوزایی ژرمانیم-۶۸ است.

۳. نتایج و بحث

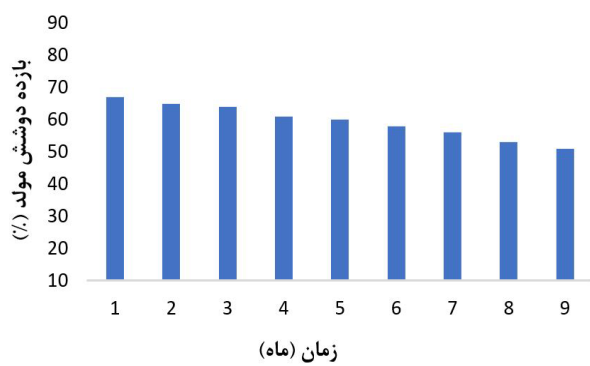
در این مطالعه، مشخصه‌های اصلی نسل دوم مولدهای پارس گالوژن (مولد $^{68}\text{Ge}/^{68}\text{Ga}$) تولید شده در شرکت پارس ایزوتوپ تعیین شده و کنترل کیفی محلول شویش آن انجام شد. روش‌های اندازه‌گیری مورد استفاده براساس روش‌های ارائه شده فارماکوپه اروپا برای گالیم کلرید مورد استفاده در نشان‌دارسازی انجام شده است.

۱.۳ تعیین قدرت اسیدی مناسب برای شستشوی مولد $^{68}\text{Ge}/^{68}\text{Ga}$
در این مطالعه جهت بهدست آوردن غلظت مناسب هیدروکلریک اسید محلول شستشوی ژنراتور، محلول‌هایی با غلظت‌های مختلف ۰/۰۵، ۰/۱، ۰/۳ و ۰/۶ از هیدروکلریک اسید تهیه شده و ژنراتور با حجم ۳ میلی‌لیتر از هر کدام از محلول‌ها دوشیده شد. پرتوزایی گالیم-۶۸ اندازه‌گیری شده هر نمونه در شکل ۱ نشان داده شده است.

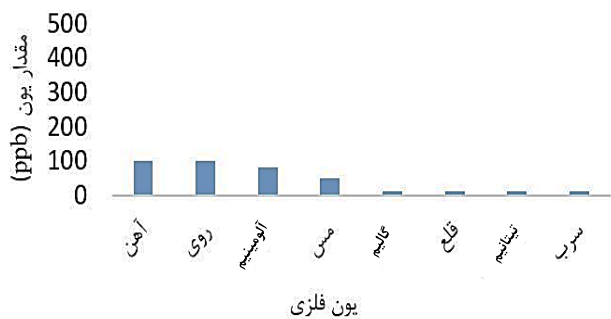




شکل ۲. منحنی شویش مولد با هیدروکلریک اسید ۰/۱ مولار.



شکل ۳. منحنی بازده دوشش مولد.



شکل ۴. منحنی متوسط یون‌های فلزی محلول شویش بر حسب ppb.

۹ ماهه به دست می‌آید. شکل ۳ مقادیر به دست آمده بازده دوشش در طول این بازه ۹ ماهه را نشان می‌دهد. همان‌گونه که در شکل ۳ مشاهده می‌شود بازده دوشش در زمان تولید در بازه ۷۰-۶۵ درصد است و پس از ۹ ماه این بازده دوشش به حدود ۲۰-۱۵ ۵۵-۵۰ درصد شده و در طول بازه ۹ ماهه در حدود ۱۰۰ ppb مقدار کاهش می‌باید. البته لازم به ذکر است که این کاهش بازده دوشش برای مولدهای مختلف و با پرتوزایی‌های متفاوت می‌تواند کمی متفاوت باشد.

۴.۳ بررسی خلوص شیمیایی مولد $^{68}\text{Ge}/^{68}\text{Ga}$

همان‌گونه که بیان گردید مقدار یون‌های فلزی در محلول دوشش از پارامترهای مهم هر مولد است. بررسی مقدار یون‌های فلزی در محلول دوشش با تکنیک ICP-OES انجام شد و نتایج در شکل ۴ نشان داده شده است. همان‌گونه که مشاهده می‌شود مقدار یون مهم و تأثیرگذار آهن و روی در حدود ۱۰۰ ppb بوده و مقدار کلی عناصر فلزی کمتر از ۵۰۰ ppb است. لازم به ذکر است همان‌گونه که در جدول ۱ نیز نشان داده شده است در فارماکوپه اروپا مقدار مجاز برای آهن و روی $10 \mu\text{g}/\text{GBq}$ است.

۵.۳ بررسی خلوص رادیوشیمیایی مولد $^{68}\text{Ge}/^{68}\text{Ga}$

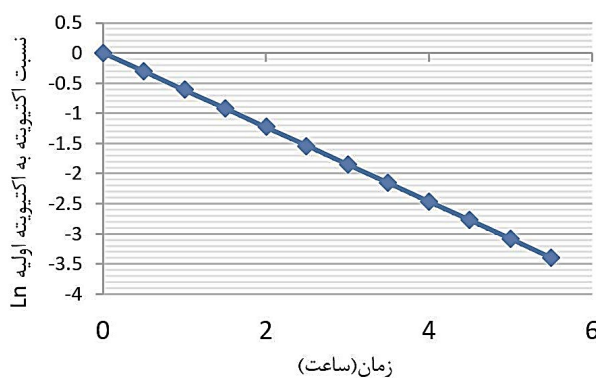
خلوص رادیوشیمیایی محلول شویش مولد با استفاده از کروماتوگرافی لایه نازک (TLC) در محلول آمونیم استات $10\%/\text{v/v}$ و متانول (۱:۱) انجام شد (شکل ۵). کاتیون $^{68}\text{Ga}^{3+}$ در Rf پایین باقی مانده و دیگر کاتیون‌های گالیم-۶۸ به Rf بالا می‌روند.

جدول ۱. بررسی خواص نسل دوم مولد پارس گالوژن براساس استانداردهای فارماکوپه اروپا

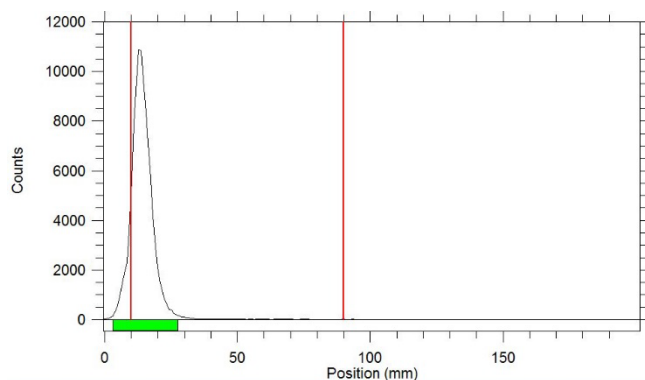
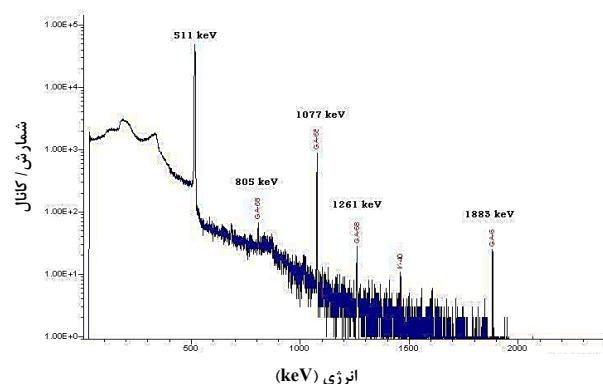
مشخصات مولد پارس گالوژن	مشخصات فارماکوپه اروپا	آزمون
محلول شفاف و بی‌رنگ	محلول شفاف و بی‌رنگ	ظاهر
نیمه عمر ۶۸ دقیقه	نیمه عمر ۶۸ دقیقه	ویژگی گالیم-۶۸
$\leq 10 \mu\text{g} / \text{GBq}$, Pb, Ga, Cu, Al, Sn, Ti, Zn, Fe به صورت جداگانه	$\text{Fe} \leq 10 \mu\text{g} / \text{GBq}$ $\text{Zn} \leq 10 \mu\text{g} / \text{GBq}$	خلوص شیمیایی
$10,000 \text{ ppb}$ درصد از اکتیویته دوشش	$10,000 \text{ ppb}$ درصد از اکتیویته دوشش	*ژرمانیم-۶۸
$\leq 99.9\%$	$\leq 99.9\%$	خلوص رادیونوکلئیدی
$\leq 99.9\% \text{ آزاد}$	$\leq 99.9\% \text{ آزاد}$	خلوص رادیوشیمیایی
≤ 2	≤ 2	pH
استریل در زمان آزادسازی	-	کیفیت میکروبیولوژیکی
$< 30 \text{ EU/ml} (\leq 175 \text{ IEU/V})$	$< 30 \text{ EU/ml} (\leq 175 \text{ IEU/V})$	اندوتوكسین‌های باکتریایی

*: ژرمانیم-۶۸ و ناخالصی‌های ساطع‌کننده پرتوی گاما





شکل ۶. الگوی واپاشی گالیم-۶۸ حاصل از مولد.

شکل ۵. خلوص رادیوشیمیایی ^{68}Ga تعیین شده با TLC.

شکل ۷. طیف گامای گالیم کلرید با آشکارساز HPGe.

مقدار عناصر فلزی آهن و روی به شکل متدائل مقادیر کمتر از $0.1 \mu\text{g}/\text{GBq}$ است. لازم به ذکر است که مقادیر دیگر فلزات نیز مقادیر مشابه است.

۸.۳ مقایسه خواص نسل اول و دوم مولد پارس گالوژن
بررسی خواص نسل دوم مولد پارس گالوژن و مقایسه آن با خواص نسل اول مولد پارس گالوژن، نشان از بهبود عملکرد نسل دوم در پارامترهایی مانند عناصر فلزی، غلظت و مقدار اسید دوشش مولد و ... دارد (جدول ۲).

۴. نتیجه‌گیری

در این کار پژوهشی مشخصه‌های اصلی نسل دوم مولد پارس گالوژن (مولد $^{68}\text{Ge}/^{68}\text{Ga}$) بررسی شده و با مشخصات فارماکوپه اروپا و خواص نسل اول مولد مقایسه شد. در این راستا عوامل مختلفی از قبیل راندمان ژنراتور، غلظت اسید مورد استفاده در دوشش، حجم اسید مورد استفاده در دوشش، مقدار ناخالصی‌های فلزی موجود در محلول شویش، حضور رادیونوکلئید مادر در محلول شویش، خلوص شیمیایی، رادیوشیمیایی و نوکلئیدی بررسی شد.

۶.۳ بررسی خلوص رادیونوکلئیدی مولد $^{68}\text{Ge}/^{68}\text{Ga}$
جهت استفاده بالینی از محلول دوشیده شده از مولد لازم است که مقدار رادیونوکلئید مادر ژرمانیم-۶۸ در محلول شویش کمتر از حد مجاز تعیین شده در فارماکوپه باشد. برطبق فارماکوپه اروپا این خلوص در محلول گالیم کلرید به مقدار کمینه 99.9% در کل پرتوزایی محدود می‌شود. البته میزان ژرمانیم-۶۸ در محلول نباید بیش از 0.001% باشد [۳۷]. برای تعیین خلوص گالیم-۶۸ شسته شده از مولد، ابتدا الگوی واپاشی آن با استفاده از آشکارساز HPGe بررسی شد. مشخصات واپاشی نمونه در شکل ۶ نشان داده شده است. عدم وجود هرگونه انحراف در انتهای پایین منحنی خط مستقیم واپاشی، تأیید کرد که نمونه خالص است. نیمه عمر به دست آمده برای مولد مورد بررسی با استفاده از الگوی واپاشی 67.37 ± 0.4 دقيقه است که نزدیک نیم عمر گزارش شده 67.6 دقيقه می‌باشد.

همچنین به منظور اندازه‌گیری کمی میزان ناخالصی‌های رادیونوکلئیدی از طیف‌نمایی پرتو گاما استفاده شد. طیف گامای $^{68}\text{GaCl}_3$ در شکل ۷ نشان داده شده است. خلوص گالیم-۶۸ به دست آمده از مولد بالاتر از 99.9% تعیین شد و مقدار متوسط رادیونوکلئید ژرمانیم-۶۸ در محلول گالیم-۶۸ دوشیده شده 0.00012% تعیین شد.

۷.۳ بررسی خواص نسل دوم مولد پارس گالوژن براساس استانداردهای فارماکوپه اروپا
جهت استفاده بالینی از محلول دوشیده شده از مولد $^{68}\text{Ge}/^{68}\text{Ga}$ لازم است که این محلول استانداردهای فارماکوپه اروپا را دارا باشد. این استاندارد برای پارامترهای مختلف محلول از جمله خلوص شیمیایی، رادیوشیمیایی و رادیونوکلئیدی و ... محدوده‌های مجاز برای استفاده را بیان کرده است [۴۰]. جدول ۱ مشخصات نسل دوم مولد پارس گالوژن را با توجه به محدوده‌های بیان شده در فارماکوپه اروپا نشان می‌دهد.



جدول ۲. مقایسه خواص نسل اول و دوم مولد پارس گالوژن

مشخصات نسل اول مولد پارس گالوژن*	مشخصات نسل دوم مولد پارس گالوژن*	آزمون / مشخصات
HCl ۰.۱ M	HCl ۰.۶ M	غلظت اسید شویش
۳ میلی لیتر	۵ میلی لیتر	مقدار اسید شویش
کمتر از ۰.۵ ppm	کمتر از ۱ ppm	مجموع یون‌های فلزی اسید شویش
کمتر از ۱۰۰ درصد از اکتیویته دوشش	کمتر از ۱۷ درصد از اکتیویته دوشش	ژرمانیم-۶۸
حدود ۱۵٪ در ۹ ماه	حدود ۱۵٪ در ۶ ماه	کاهش راندمان دوشش در گذر زمان
$\leq 99.9\% \ ^{68}\text{Ga}^{3+}$	$\leq 99\% \ ^{68}\text{Ga}^{3+}$	خلوص رادیوشیمیابی
استریل در زمان آزادسازی	استریل در زمان آزادسازی	کیفیت میکروبیولوژیکی

*: مشخصات این مولد براساس پژوهش قبلی [۲۱] بیان شده است.

مراجع

- Nelson B.J, Andersson J.D, Wuest F, Spreckelmeyer S. Good practices for ^{68}Ga radiopharmaceutical production. *EJNMMI Radiopharmacy and Chemistry*. 2022 Dec;7(1):1-26.
- Rösch F. Past, present and future of $^{68}\text{Ge}/^{68}\text{Ga}$ generators. *Applied Radiation and Isotopes*. 2013 Jun 1;76:24-30.
- Jalilian A.R. An overview on Ga-68 radiopharmaceuticals for positron emission tomography applications. *Iranian Journal of Nuclear Medicine*. 2016;24(1):1.
- Roesch F. Maturation of a key resource—the germanium-68/gallium-68 generator: development and new insights. *Current Radiopharmaceuticals*. 2012 Jul 1;5(3):202-11.
- Meisenheimer M, Saenko Y, Eppard E. Gallium-68: Radiolabeling of Radiopharmaceuticals for PET Imaging—A Lot to Consider. *Med Isot*. 2019 Dec 23.
- Tsionou M.I, Knapp C.E, Foley C.A, Munteanu C.R, Cakebread A, Imberti C, Eykyn T.R, Young J.D, Paterson B.M, Blower P.J, Ma M.T. Comparison of macrocyclic and acyclic chelators for gallium-68 radiolabelling. *RSC advances*. 2017;7(78):49586-99.
- Lenzo N.P, Meyrick D, Turner J.H. Review of gallium-68 PSMA PET/CT imaging in the management of prostate cancer. *Diagnostics*. 2018 Feb 11;8(1):16.
- Rodnick M.E, Sollert C, Stark D, Clark M, Katsifis A, Hockley B.G, Parr D.C, Frigell J, Henderson B.D, Bruton L, Preshlock S. Synthesis of ^{68}Ga -radiopharmaceuticals using both generator-derived and cyclotron-produced ^{68}Ga as exemplified by [^{68}Ga] Ga-PSMA-11 for prostate cancer PET imaging. *Nature Protocols*. 2022 Apr;17(4):980-1003.
- Okarvi S.M. Recent developments of prostate-specific membrane antigen (PSMA)-specific radiopharmaceuticals for precise imaging and therapy of prostate cancer: an overview. *Clinical and Translational Imaging*. 2019 Jun 1;7:189-208.

با توجه به نتایج به دست آمده محلول ۰.۱ مolar هیدروکلریک اسید جهت شستشوی نسل دوم مولد پارس گالوژن مناسب بوده و حدود ۹۰٪ از پرتوزاپی مولد در ۲ میلی لیتر اول به دست می‌آید. مقدار یون مهم و تأثیرگذار در حدود ۱۵ درصد کاهش می‌یابد. مقدار یون اغاثی فلزی کمتر از آهن در حدود ۱۰۰ ppb بوده و مقدار کلی عناصر فلزی کمتر از ۵۰۰ ppb است. خلوص گالیم-۶۸ به دست آمده از مولد بالاتر از ۹۹.۹٪ تعیین شد و مقدار متوسط رادیونوکلئید ژرمانیم-۶۸ در محلول گالیم-۶۸ دوشیده شده ۱۲٪ تعیین شد. به طور کلی خواص نسل دوم مولد پارس گالوژن در مقایسه با خواص نسل اول مولد پارس گالوژن، نشان از بهبود عملکرد نسل دوم در تمامی پارامترها از جمله پارامترهای مانند عناصر فلزی، غلظت و مقدار اسید دوشش مولد و ... دارد. همچنین تمامی محدوده‌های بیان شده در فارماکوپه اروپا در نسل دوم مولد پارس گالوژن رعایت شده و در برخی پارامترها نسل دوم مشخصات بسیار بهتری را دارد. به عنوان مثال خلوص رادیونوکلئیدی ۰.۱ مقدار فارماکوپه بوده و در خلوص شیمیابی، مقادیر آهن و روی ۰.۱ مقدار فارماکوپه است. البته لازم به ذکر است که این مشخصات برای مولدهای مختلف (به ویژه با اکتیویته خروجی متفاوت) و در بازه‌های زمانی مختلف، کمی متفاوت‌تر است.

تشکر و قدردانی

لازم می‌دانیم از همکاری و مشارکت کلیه همکارانمان در شرکت پارس ایزوتوپ پ به دلیل مشارکت و همکاری‌های بی دریغ‌شان و همچنین مدیریت محترم شرکت به جهت حمایت‌های همه‌جانبه از فعالیت‌های تحقیقاتی و توسعه‌ای در شرکت، کمال تشکر و قدردانی را نماییم.



10. Rodnick M.E, Sollert C, Stark D, Clark M, Katsifis A, Hockley B.G, Parr D.C, Frigell J, Henderson B.D, Abghari-Gerst M, Piert M.R. Cyclotron-based production of ^{68}Ga , $[^{68}\text{Ga}] \text{GaCl}_3$, and $[^{68}\text{Ga}] \text{Ga-PSMA-11}$ from a liquid target. *EJNMMI Radiopharmacy and Chemistry*. 2020 Dec;5:1-8.
11. Hamed M.A, Basha M.A, Ahmed H, Obaya A.A, Afifi A.H, Abdelbary E.H. ^{68}Ga -PSMA PET/CT in patients with rising prostatic-specific antigen after definitive treatment of prostate cancer: detection efficacy and diagnostic accuracy. *Academic Radiology*. 2019 Apr 1;26(4):450-60.
12. Weitzer F, Pernthaler B, Plhak E, Riedl R, Aigner R.M. Diagnostic value of two-time point $[^{68}\text{Ga}] \text{Ga-PSMA-11}$ PET/CT in the primary staging of untreated prostate cancer. *Scientific Reports*. 2023 May 22;13(1):8297.
13. Maffey-Steffan J, Scarpa L, Sviridenka A, Nilica B, Mair C, Buxbaum S, Bektic J, Von Guggenberg E, Uprimny C, Horninger W, Virgolini I. The $^{68}\text{Ga}/^{177}\text{Lu}$ -theragnostic concept in PSMA-targeting of metastatic castration-resistant prostate cancer: impact of post-therapeutic whole-body scintigraphy in the follow-up. *European journal of nuclear medicine and molecular imaging*. 2020 Mar;47:695-712.
14. Peters S.M, Hofferber R, Privé B.M, De Bakker M, Gotthardt M, Janssen M, De Lange F, Muselaers C.H, Mehra N, Witjes J.A, Costa P.F. $[^{68}\text{Ga}] \text{Ga-PSMA-11}$ PET imaging as a predictor for absorbed doses in organs at risk and small lesions in $[^{177}\text{Lu}] \text{Lu-PSMA-617}$ treatment. *European Journal of Nuclear Medicine and Molecular Imaging*. 2022 Mar 1:1-2.
15. Zha Z, Choi S.R, Li L, Zhao R, Ploessl K, Yao X, Alexoff D, Zhu L, Kung H.F. New PSMA-Targeting Ligands: Transformation from Diagnosis (Ga-68) to Radionuclide Therapy (Lu-177). *Journal of Medicinal Chemistry*. 2022 Sep 14;65(19):13001-12.
16. Sinnes J.P, Bauder-Wüst U, Schäfer M, Moon E.S, Kopka K, Rösch F. ^{68}Ga , ^{44}Sc and ^{177}Lu -labeled AAZTA 5-PSMA-617: synthesis, radiolabeling, stability and cell binding compared to DOTA-PSMA-617 analogues. *EJNMMI radiopharmacy and chemistry*. 2020 Dec;5:1-1.
17. Stenvall A, Gustafsson J, Larsson E, Roth D, Sundlöv A, Jönsson L, Hindorf C, Ohlsson T, Sjögren Gleisner K. Relationships between uptake of $[^{68}\text{Ga}] \text{Ga-DOTA-TATE}$ and absorbed dose in $[^{177}\text{Lu}] \text{Lu-DOTA-TATE}$ therapy. *EJNMMI research*. 2022 Dec;12(1):1-5.
18. Sainz-Esteban A, Prasad V, Schuchardt C, Zachert C, Carril J.M, Baum R.P. Comparison of sequential planar $^{177}\text{Lu-DOTA-TATE}$ dosimetry scans with $^{68}\text{Ga-DOTA-TATE}$ PET/CT images in patients with metastasized neuroendocrine tumours undergoing peptide receptor radionuclide therapy. *European journal of nuclear medicine and molecular imaging*. 2012 Mar;39:501-11.
19. Hennrich U, Benešová M. $[^{68}\text{Ga}] \text{Ga-DOTA-TOC}$: the first FDA-approved ^{68}Ga -radiopharmaceutical for PET imaging. *Pharmaceuticals*. 2020 Mar 3;13(3):38.
20. Breeman W.A, De Jong M, De Blois E, Bernard B.F, Konijnenberg M, Krenning E.P. Radiolabelling DOTA-peptides with ^{68}Ga . *European journal of nuclear medicine and molecular imaging*. 2005 Apr;32:478-85.
21. Kilian K. ^{68}Ga -DOTA and analogs: Current status and future perspectives. *Reports of Practical Oncology & Radiotherapy*. 2014 May 1;19:S13-21.
22. Fani M, Mansi R, Nicolas G.P, Wild D. Radiolabeled somatostatin analogs—a continuously evolving class of radiopharmaceuticals. *Cancers*. 2022 Feb 24;14(5):1172.
23. Martiniova L, Palatis L.D, Etchebehere E, Ravizzini G. Gallium-68 in medical imaging. *Current radiopharmaceuticals*. 2016 Dec 1;9(3):187-207.
24. Velikyan I. ^{68}Ga -based radiopharmaceuticals: production and application relationship. *Molecules*. 2015 Jul 16;20(7):12913-43.
25. Kumar K. The current status of the production and supply of Gallium-68. *Cancer biotherapy & radiopharmaceuticals*. 2020 Apr 1;35(3):163-6.
26. Velikyan I. ^{68}Ga -based radiopharmaceuticals: production and application relationship. *Molecules*. 2015 Jul 16;20(7):12913-43.
27. Nelson B.J, Andersson J.D, Wuest F, Spreckelmeyer S. Good practices for ^{68}Ga radiopharmaceutical production. *EJNMMI Radiopharmacy and Chemistry*. 2022 Oct 22;7(1):27.
28. Zolghadri S, Kakaei S, Yousefnia H, Bahrami-Samani A. Characterization of $^{68}\text{Ge}/^{68}\text{Ga}$ Generator and Quality Control of its Eluate. *Journal of Nuclear Science and Technology*. 2018;84:81-89 [In Persian].
29. Roustaei H, Vosoughi H, Norouzbeigi N, Anvari K, Aryana K. Assessment of optimal uptake and acquisition time for $[^{68}\text{Ga}] \text{Ga-pentixafor}$ in patients with high-grade glioma. *2022;3298-3298*.
30. Roustaei H, Askari E, Norouzbeigi N, Vosoughi H, Aryana K. $[^{68}\text{Ga}] \text{Ga-Pentixafor}$ PET/CT uptake due to COVID-19 infection: An incidental finding in a patient with high-grade oligodendrogloma. *Iranian Journal of Nuclear Medicine*. 2023;31(1):101.
31. Dadgar H, Seyedi Vafaei M, Norouzbeigi N, Jafari E, Gholamrezaebehad A, Assadi M. Dual-phase $^{68}\text{Ga-PSMA-11}$ PET/CT may increase the rate of detected lesions in prostate cancer patients. *Urologia Journal*. 2021 Nov;88(4):355-61.
32. Rabie A, Yousefnia H, Zolghadri S, Shamsaei M, Jalilian A.R. Preparation, quality control and biodistribution study of $^{68}\text{Ga-BPAMD}$: Optimized production with an in-house $^{68}\text{Ge}-^{68}\text{Ga}$ generator. *Iranian Journal of Nuclear Medicine*. 2018 Jul 1;26(2):82-6.
33. Aghanejad A, Jalilian A.R, Ardaneh K, Bolourinovin F, Yousefnia H, Samani A.B. Preparation and quality control of ^{68}Ga -citrate for PET applications. *Asia Oceania Journal of Nuclear Medicine and Biology*. 2015;3(2):99.



34. Fallahi B, Manafi-Farid R, Eftekhari M, Fard-Esfahani A, Emami-Ardekani A, Geramifar P, Akhlaghi M, Taheri A.P, Beiki D. Diagnostic efficiency of ^{68}Ga -DOTATATE PET/CT as compared to ^{99}mTc -Octreotide SPECT/CT and conventional morphologic modalities in neuroendocrine tumors. *Asia Oceania Journal of Nuclear Medicine and Biology*. 2019;7(2):129.
35. Romero E, Martínez A, Oteo M, Ibañez M, Santos M, Morcillo M.Á. Development and long-term evaluation of a new $^{68}\text{Ge}/^{68}\text{Ga}$ generator based on nano-SnO₂ for PET imaging. *Scientific Reports*. 2020 Jul 29;10(1):12756.
36. Sriprapa T, Doungta T, Sakulsamart N, Taweevatthanasopon N, Madputeh L, Ragchana P, Sritongkul N, Tantawiroon M, Kongmuang S, Khiewvan B, Shiratori S. Evaluation of the Efficacy and Safety of the ITM $^{68}\text{Ge}/^{68}\text{Ga}$ Generator After its Recommended Shelf-life. *Siriraj Medical Journal*. 2023 Oct 1;75(10):752-8.
37. Ocak M. $^{68}\text{Ge}/^{68}\text{Ga}$ Generators and Current Approach to Ga-68 Radiopharmaceuticals. *Nukleer Tip Seminerleri*. 2023 Mar 1;9(1):31.
38. Chakravarty R, Chakraborty S, Dash A, Pillai M.R. Detailed evaluation on the effect of metal ion impurities on complexation of generator eluted ^{68}Ga with different bifunctional chelators. *Nuclear Medicine and Biology*. 2013 Feb 1;40(2):197-205.
39. Šimeček J, Hermann P, Wester H.J, Notni J. How is ^{68}Ga labeling of macrocyclic chelators influenced by metal ion contaminants in $^{68}\text{Ge}/^{68}\text{Ga}$ generator eluates? *ChemMedChem*. 2013 Jan;8(1):95-103.
40. European Pharmacopoeia 10.0. *Gallium (^{68}Ga) chloride solution for radiolabelling*. 2464.

COPYRIGHTS

©2021 The author(s). This is an open access article distributed under the terms of the Creative Commons Attribution (CC BY 4.0), which permits unrestricted use, distribution, and reproduction in any medium, as long as the original authors and source are cited. No permission is required from the authors or the publishers.

**استناد به این مقاله**

غلام حسینی نظری، مهدی، رحیمی‌نژاد، علی، گیلانی، مقداد، هاشمی‌زاده، میعاد، معصومی، حجت، سرداری، رحیم، نادری، حسین. (۱۴۰۴) مشخصه‌یابی نسل دوم مولد پارس گالوژن (مولد $^{68}\text{Ge}/^{68}\text{Ga}$) و کنترل کیفی محلول شویش آن. مجله علوم، مهندسی و فناوری هسته‌ای، ۱۱۱(۱)، ۱۴۸-۱۵۶. **Url:** <https://jonsat.nstri.ir/article1648.html>. **DOI:** <https://doi.org/10.24200/nst.2024.1648>

